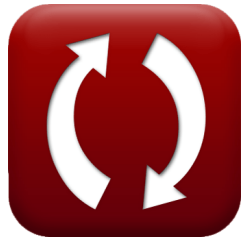


calculatoratoz.comunitsconverters.com

Gecombineerde axiale en buigbelastingen Formules

[Rekenmachines!](#)[Voorbeelden!](#)[Conversies!](#)

Bladwijzer calculatoratoz.com, unitsconverters.com

Breedste dekking van rekenmachines en groeiend - **30.000+ rekenmachines!**

Bereken met een andere eenheid voor elke variabele - **In ingebouwde eenheidsconversie!**

Grootste verzameling maten en eenheden - **250+ metingen!**

DEEL dit document gerust met je vrienden!

[Laat hier uw feedback achter...](#)



Lijst van 19 Gecombineerde axiale en buigbelastingen Formules

Gecombineerde axiale en buigbelastingen ↗

1) Afstand van Extreme Fiber gegeven Young's Modulus samen met Radius en Stress Induced ↗

$$fx \quad y = \frac{R_{\text{curvature}} \cdot \sigma_y}{E}$$

[Rekenmachine openen ↗](#)

$$ex \quad 25\text{mm} = \frac{152\text{mm} \cdot 3289.474\text{MPa}}{20000\text{MPa}}$$

2) Afstand van extreme vezel gegeven moment van weerstand en traagheidsmoment samen met stress ↗

$$fx \quad y = \frac{I \cdot \sigma_b}{M_r}$$

[Rekenmachine openen ↗](#)

$$ex \quad 25\text{mm} = \frac{0.0016\text{m}^4 \cdot 0.072\text{MPa}}{4.608\text{kN}\cdot\text{m}}$$

3) Axiale belasting gegeven maximale spanning voor korte balken ↗

$$fx \quad P = A \cdot \left(\sigma_{\max} - \left(\frac{M_{\max} \cdot y}{I} \right) \right)$$

[Rekenmachine openen ↗](#)

$$ex \quad 1999.98\text{N} = 0.12\text{m}^2 \cdot \left(0.136979\text{MPa} - \left(\frac{7.7\text{kN}\cdot\text{m} \cdot 25\text{mm}}{0.0016\text{m}^4} \right) \right)$$



4) Door stress veroorzaakt met behulp van weerstandsmoment, traagheidsmoment en afstand van extreme vezels ↗

fx
$$\sigma_b = \frac{y \cdot M_r}{I}$$

[Rekenmachine openen ↗](#)

ex
$$0.072 \text{ MPa} = \frac{25 \text{ mm} \cdot 4.608 \text{ kN} \cdot \text{m}}{0.0016 \text{ m}^4}$$

5) Doorbuiging voor axiale compressie en buiging ↗

fx
$$\delta = \frac{d_0}{1 - \left(\frac{P}{P_c} \right)}$$

[Rekenmachine openen ↗](#)

ex
$$4.8 \text{ mm} = \frac{4 \text{ mm}}{1 - \left(\frac{2000 \text{ N}}{12000 \text{ N}} \right)}$$

6) Doorbuiging voor transversale belasting gegeven Doorbuiging voor axiale buiging ↗

fx
$$d_0 = \delta \cdot \left(1 - \left(\frac{P}{P_c} \right) \right)$$

[Rekenmachine openen ↗](#)

ex
$$4.166667 \text{ mm} = 5 \text{ mm} \cdot \left(1 - \left(\frac{2000 \text{ N}}{12000 \text{ N}} \right) \right)$$



7) Doorsnedegebied gegeven maximale spanning voor korte liggers ↗

$$fx \quad A = \frac{P}{\sigma_{max} - \left(\frac{M_{max} \cdot y}{I} \right)}$$

[Rekenmachine openen ↗](#)

$$ex \quad 0.120001m^2 = \frac{2000N}{0.136979MPa - \left(\frac{7.7kN*m \cdot 25mm}{0.0016m^4} \right)}$$

8) Maximaal buigmoment gegeven Maximale spanning voor korte balken ↗

$$fx \quad M_{max} = \frac{\left(\sigma_{max} - \left(\frac{P}{A} \right) \right) \cdot I}{y}$$

[Rekenmachine openen ↗](#)

$$ex \quad 7.699989kN*m = \frac{\left(0.136979MPa - \left(\frac{2000N}{0.12m^2} \right) \right) \cdot 0.0016m^4}{25mm}$$

9) Maximale spanning in korte balken voor grote doorbuiging ↗

$$fx \quad \sigma_{max} = \left(\frac{P}{A} \right) + \left(\frac{(M_{max} + P \cdot \delta) \cdot y}{I} \right)$$

[Rekenmachine openen ↗](#)

$$ex \quad 0.137135MPa = \left(\frac{2000N}{0.12m^2} \right) + \left(\frac{(7.7kN*m + 2000N \cdot 5mm) \cdot 25mm}{0.0016m^4} \right)$$



10) Maximale spanning voor korte balken ↗

$$fx \quad \sigma_{\max} = \left(\frac{P}{A} \right) + \left(\frac{M_{\max} \cdot y}{I} \right)$$

[Rekenmachine openen ↗](#)

$$ex \quad 0.136979 \text{ MPa} = \left(\frac{2000 \text{ N}}{0.12 \text{ m}^2} \right) + \left(\frac{7.7 \text{ kN*m} \cdot 25 \text{ mm}}{0.0016 \text{ m}^4} \right)$$

11) Moment van weerstand gegeven Young's Modulus, Moment of Inertia en Radius ↗

$$fx \quad M_r = \frac{I \cdot E}{R_{\text{curvature}}}$$

[Rekenmachine openen ↗](#)

$$ex \quad 210526.3 \text{ kN*m} = \frac{0.0016 \text{ m}^4 \cdot 20000 \text{ MPa}}{152 \text{ mm}}$$

12) Neutrale as tot buitenste vezelafstand gegeven maximale spanning voor korte bundels ↗

$$fx \quad y = \frac{(\sigma_{\max} \cdot A \cdot I) - (P \cdot I)}{M_{\max} \cdot A}$$

[Rekenmachine openen ↗](#)

ex

$$24.99997 \text{ mm} = \frac{(0.136979 \text{ MPa} \cdot 0.12 \text{ m}^2 \cdot 0.0016 \text{ m}^4) - (2000 \text{ N} \cdot 0.0016 \text{ m}^4)}{7.7 \text{ kN*m} \cdot 0.12 \text{ m}^2}$$



13) Neutrale as traagheidsmoment gegeven maximale spanning voor korte balken ↗

fx $I = \frac{M_{\max} \cdot A \cdot y}{(\sigma_{\max} \cdot A) - (P)}$

Rekenmachine openen ↗

ex $0.0016m^4 = \frac{7.7kN*m \cdot 0.12m^2 \cdot 25mm}{(0.136979MPa \cdot 0.12m^2) - (2000N)}$

14) Stress veroorzaakt met bekende afstand tot extreme vezels, Young's modulus en kromtestraal ↗

fx $\sigma_y = \frac{E \cdot y}{R_{\text{curvature}}}$

Rekenmachine openen ↗

ex $3289.474MPa = \frac{20000MPa \cdot 25mm}{152mm}$

15) Traagheidsmoment gegeven moment van weerstand, veroorzaakte stress en afstand tot extreme vezels ↗

fx $I = \frac{y \cdot M_r}{\sigma_b}$

Rekenmachine openen ↗

ex $0.0016m^4 = \frac{25mm \cdot 4.608kN*m}{0.072MPa}$



16) Traagheidsmoment gegeven Young's Modulus, Moment of Resistance en Radius ↗

fx $I = \frac{M_r \cdot R_{\text{curvature}}}{E}$

Rekenmachine openen ↗

ex $3.5E^{-8}m^4 = \frac{4.608kN*m \cdot 152mm}{20000MPa}$

17) Weerstandsmoment in buigende vergelijking ↗

fx $M_r = \frac{I \cdot \sigma_b}{y}$

Rekenmachine openen ↗

ex $4.608kN*m = \frac{0.0016m^4 \cdot 0.072MPa}{25mm}$

18) Young's Modulus gegeven Afstand van Extreme Fiber samen met Radius en Stress Induced ↗

fx $E = \left(\frac{R_{\text{curvature}} \cdot \sigma_y}{y} \right)$

Rekenmachine openen ↗

ex $20000MPa = \left(\frac{152mm \cdot 3289.474MPa}{25mm} \right)$



19) Young's Modulus met behulp van Moment of Resistance, Moment of Inertia en Radius ↗**fx**

$$E = \frac{M_r \cdot R_{\text{curvature}}}{I}$$

Rekenmachine openen ↗**ex**

$$0.43776 \text{ MPa} = \frac{4.608 \text{ kN*m} \cdot 152 \text{ mm}}{0.0016 \text{ m}^4}$$



Variabelen gebruikt

- **A** Dwarsdoorsnedegebied (*Plein Meter*)
- **d₀** Doorbuiging alleen voor dwarsladen (*Millimeter*)
- **E** Young-modulus (*Megapascal*)
- **I** Gebied Traagheidsmoment (*Meter ^ 4*)
- **M_{max}** Maximaal buigmoment (*Kilonewton-meter*)
- **M_r** Moment van weerstand (*Kilonewton-meter*)
- **P** Axiale belasting (*Newton*)
- **P_c** Kritieke knikbelasting (*Newton*)
- **R_{curvature}** Krommingsstraal (*Millimeter*)
- **y** Afstand vanaf de neutrale as (*Millimeter*)
- **δ** Doorbuiging van de straal (*Millimeter*)
- **σ_b** Buigspanning (*Megapascal*)
- **σ_{max}** Maximale spanning (*Megapascal*)
- **σ_y** Vezelspanning op afstand 'y' van NA (*Megapascal*)



Constanten, functies, gebruikte metingen

- **Meting:** Lengte in Millimeter (mm)
Lengte Eenheidsconversie ↗
- **Meting:** Gebied in Plein Meter (m^2)
Gebied Eenheidsconversie ↗
- **Meting:** Kracht in Newton (N)
Kracht Eenheidsconversie ↗
- **Meting:** Moment van kracht in Kilonewton-meter ($kN \cdot m$)
Moment van kracht Eenheidsconversie ↗
- **Meting:** Tweede moment van gebied in Meter \wedge 4 (m^4)
Tweede moment van gebied Eenheidsconversie ↗
- **Meting:** Spanning in Megapascal (MPa)
Spanning Eenheidsconversie ↗



Controleer andere formulelijsten

- Mohr's Circle of Stresses
[Formules](#) ↗
- Beam-momenten Formules
[Formules](#) ↗
- Buigspanning Formules
[Formules](#) ↗
- Gecombineerde axiale en buigbelastingen Formules
[Formules](#) ↗
- Elastische stabiliteit van kolommen
[Formules](#) ↗
- Hoofdstress Formules
[Formules](#) ↗
- Helling en afbuiging Formules
[Formules](#) ↗

DEEL dit document gerust met je vrienden!

PDF Beschikbaar in

[English](#) [Spanish](#) [French](#) [German](#) [Russian](#) [Italian](#) [Portuguese](#) [Polish](#) [Dutch](#)

11/10/2023 | 1:57:24 AM UTC

[Laat hier uw feedback achter...](#)

